

# Metody skeletální animace

Ladislav Kavan, 2002

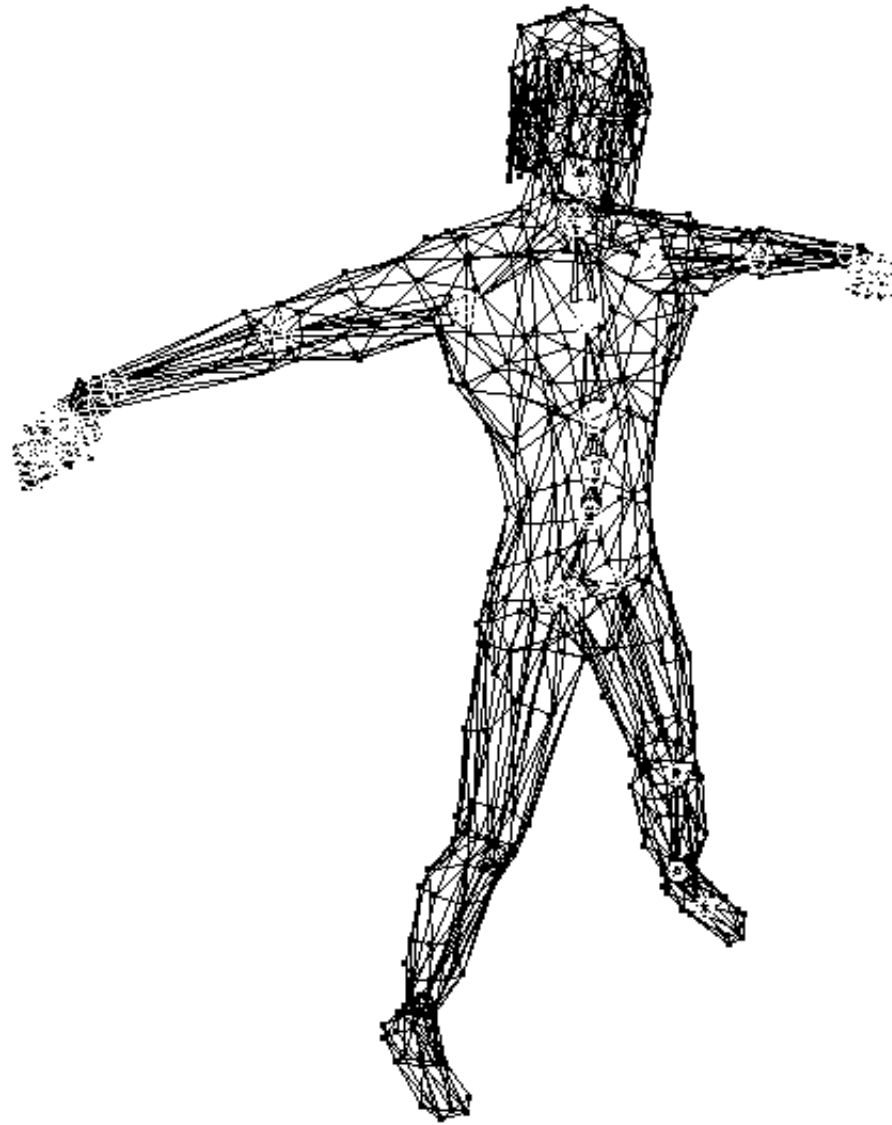
# Model humanoida

- síť trojúhelníků (textura)
- kostra - strom: hrany odpovídají kostem, vrcholy kloubům
- vazba vrcholů trojúhelníků na kosti (každý vrchol svázán s právě jednou kostí)
- v každém kloubu transformační matice (typicky jen otočení a posunutí)

Vykreslování: Zřetězím transformace ve všech kloubech na cestě a výsledek aplikuji na daný vrchol.

Počet stupňů  
volnosti (DOF) je  
dimenze stavového  
vektoru kostry.

Kloub je typicky  
rotační s 1-3 DOF.



# Animace pohybu - klíčování

Klíčové snímky udávají lokální transformace kloubů.

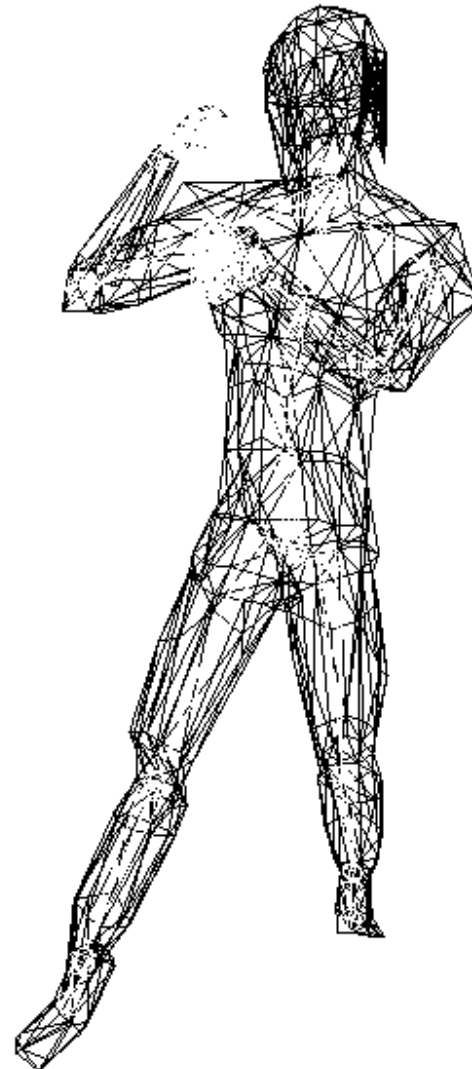
- 1) přenesu kloub (kost z něj vycházející a navázané vrcholy) do počátku
- 2) aplikuji transformaci získanou interpolací mezi klíčovými snímky
- 3) přidám transformaci rodičovskou kostí
- 4) výsledek transformuji maticí otce (spočítanou stejným postupem)

Krok 1 lze předpočítat (záleží jen na modelu), 2 a 3 provádím při vykreslování.

Kde vzít klíčové snímky?

# Výpočet klíčových snímků

- ruční ladění (pomocí dopředné kinematiky)
- herecký výkon + Motion Capture
- inverzní kinematika - výpočet otočení a posunutí kloubů ze zadaného cíle
- dynamika



# Úloha dopředné kinematiky

BÚNO můžeme předpokládat, že každý kloub rotuje kolem jedné osy (+ případně posunutí).

$M_i$  je matice transformace v  $i$ -tém kloubu, tj.  $M_i = \begin{pmatrix} R(\Theta_i) & P_i \\ 0 & 1 \end{pmatrix}$ ,

kde  $R(\Theta_i)$  je rotace kolem osy  $u_i$  o úhel  $\Theta_i$  a  $P_i$  je vektor posunutí.

Je-li  $i$ -tý kloub pevně zakotvený a  $j$ -tým se pohybuje (koncový efektor), pak výsledná transformace  $M_i^j = M_j \Lambda M_i$  (dále jen  $f$ ).

**Úloha FK** :  $x = f(q)$ , kde  $x$  je pozice koncového efektoru a  $q$  je stav kostry.

# Zpětná kinematika

**Úloha IK** :  $q = f^{-1}(x)$ . Typy koncového efektoru  $x$  :

- pouze pozice - 3 DOF
- pouze orientace (2 jednotkové kolmé vektory)
- pozice a 1 jednotkový vektor orientace
- pozice a orientace - 6 DOF

Problémy:

- $f$  nelineární (sin a cos z rotací)
- nemusí existovat žádné řešení
- může existovat nekonečně mnoho řešení

# Analytické řešení IK

- známo jen pro kostry s malým počtem stupňů volnosti (6, 7)
- výhoda: jediná metoda, co dává všechna řešení (pro 6 rotačních DOF existuje nejvýše 16 řešení)
- lze použít ve speciálních případech - HAL řetězce, robotika



# Převod IK na nelineární programování

Problém IK lze ekvivalentně formulovat takto:

$$\text{minimalizovat } E(q) = (x - f(q))^2$$

$$\text{za podmínek } l_i \leq q_i \leq u_i$$

- výhody: snadné zabudování rozsahu kloubů (a dalších podmínek), obecnější cíle (rovina, poloprostor, kombinace)
- nevýhody: můžeme skončit v lokálním minimu, pomalé (pro real-time aplikaci)

# Numerická řešení IK

Idea :  $f$  lokálně aproximujeme lineární funkcí - Jakobián  $J = \frac{\partial f}{\partial q}$

(matice typu  $M \times N$ ). Lokálně pak platí :  $\Delta x = J(q)\Delta q$ .

$$J = [J_1, \dots, J_n], \quad J_i = \left[ \frac{\partial P_x}{\partial q_i}, \frac{\partial P_y}{\partial q_i}, \frac{\partial P_z}{\partial q_i}, \frac{\partial O_x}{\partial q_i}, \frac{\partial O_y}{\partial q_i}, \frac{\partial O_z}{\partial q_i} \right]^T$$

Pro posunutí :  $J_i = [\omega_i, 0, 0, 0]^T$

Pro rotaci :  $J_i = [(\omega_i \times r_i), (\omega_i \times v)]^T$ , kde

$\omega_i$  je osa rotace (posunu)  $i$  - tého kloubu

$r_i$  je vektor od kloubu ke koncovému efektoru

$v$  je vektor orientace koncového efektoru

# Numerická řešení IK (pokračování)

Iteruj:

1) z cílové a aktuální polohy koncového efektoru zjistí  $\Delta x$

$$2) \Delta q = J^{-1}(q)\Delta x$$

3) uprav stav kostry o  $\Delta q$

$$\text{Vlastně jde o řešení } q(t_f) = q_0 + \int_0^{t_f} \Delta q(t) dt.$$

Pro 6 DOF kostru máme čtvercovou matici J.

Ale co když má kostra více DOF?

# Moore-Penroseova pseudoinverze

Tvrzení 1 : Pro každou matici  $A$  typu  $M \times N$  existuje právě jedna matice  $A^+$  typu  $N \times M$ ,

• eplatí :  $AA^+A = A$ ,  $A^+AA^+ = A^+$ ,  $(AA^+)^T = AA^+$ ,  $(A^+A)^T = A^+A$ .

Tvrzení 2 : Má - li soustava  $Ax = b$  více řešení, pak  $x^+ = A^+b$  je řešení s nejmenší Euklidovskou normou.

Tvrzení 3 : Nemá - li soustava  $Ax = b$  žádné řešení, pak  $x^+ = A^+b$  je řešení ve smyslu nejmenších čtverců.

- v praxi to znamená minimální změny natočení kloubů
- problémy se singulární maticí

# Využití kinematické redundance

Kostra má typicky mnoho stupňů volnosti - přidáme další kritérium:

$$\Delta q = J^+ \Delta x + (I - J^+ J) \Delta z, \text{ kde}$$

$J^+$  je pseudoinverze Jakobiánu

$(I - J^+ J)$  je projekce na  $\text{Ker}(J)$  - nepohne s konc. efektoem

$\Delta z$  popisuje druhotné kritérium :

- přirozené (pohodlné) natočení kloubů
- vyhýbání se překážkám

# Metoda transpozice Jakobiánu

Idea: na koncový efektor působí síla  $F$  ve směru pohybu.

Princip virtuální práce:

práce = síla · vzdálenost, ale taky práce = moment · úhel

$$F^T \Delta x = \tau^T \Delta q$$

$\Delta x = J \Delta q$  ... aproximace Jakobiánem

$$F^T J \Delta q = \tau^T \Delta q \text{ ...dosazení}$$

$$F^T J = \tau^T$$

$$\tau = J^T F \text{ ... transponování}$$

# Metoda transpozice Jakobiánu (pokrač.)

Točivé momenty v kloubech vypočteme takto:

$$\tau = J^T F$$

Iteruj:

- 1) z cílové a aktuální polohy koncového efektoru zjistí  $F$
  - 2)  $\Delta q = J^T F$  (zjednodušení dynamiky na  $F = mv$ )
  - 3) uprav stav kostry o  $\Delta q$
- nepřesné, ale rychlé a intuitivní
  - pokud  $F$  leží v  $\text{Ker}(J^T)$ , nedojde k pohybu

# Metoda CCD (cyclic coordinate descent)

Idea: Procházet klouby v manipulátoru a každý natočit tak, aby se minimalizovala chyba koncového efektoru

$$E(q) = \|P_d - P_c\|^2 + \sum_{j=1}^3 ((u_{jd} \cdot u_{jc}) - 1)^2, \text{ kde}$$

$P_d$  je cílová poloha koncového efektoru,

$P_c$  je aktuální poloha koncového efektoru (EE),

$(u_{1d}, u_{2d}, u_{3d})$  je ortonormální matice cílové orientace EE,

$(u_{1c}, u_{2c}, u_{3c})$  je ortonormální matice aktuální orientace EE.

Počítáme vždy jen jednu složku vektoru  $q$  - lze analyticky.



# Metoda CCD (pokračování)

Chceme najít úhel rotace  $q_i$  pro  $i$  - tý kloub, který rotuje kolem osy  $u_i$ .

$P'_{ic}(\Theta)$  je vektor  $P_{ic}$  rotovaný kolem  $u_i$  o úhel  $\Theta$ .

Optimalizace pozice : maximalizace funkce  $g_1(\Theta) = P_{id} \cdot P'_{ic}(\Theta)$ .

Optimalizace orientace : maximalizace fce  $g_2(\Theta) = \sum_{j=1}^3 u_{jd} \cdot u'_{jc}(\Theta)$ .

Kombinace obou :  $g(\Theta) = w_1 g_1(\Theta) + w_2 g_2(\Theta)$ , to lze upravit na  
 $g(\Theta) = k_1(1 - \cos(\Theta)) + k_2 \cos(\Theta) + k_3 \sin(\Theta)$ , kde  $k_i$  jsou konstanty.

$$\text{Řešení: } \quad \Theta = \arctan\left(\frac{k_3}{k_2 - k_1}\right)$$

# Srovnání numerických metod

- CCD i  $J^T$  jsou heuristické a efektivní
- CCD v praxi konverguje rychleji než  $J^T$
- $J^T$  rozprostírá pohyb rovnoměrně do všech kloubů
- CCD nemá problémy se singularitami
- vhodně se doplňují - kombinace CCD s  $J^T$
- krok pseudoinverze náročný, ale konverguje rychleji než CCD
- pseudoinverze nejlépe teoreticky podložená

# Literatura

- Ch. Welman: Inverse Kinematics and Geometric Constraints for Articulated Figure Manipulation. Diplomka, 1993
- J. Zhao, N. I. Badler: Inverse Kinematics Positioning Using Nonlinear Programming for Highly Articulated Figures. ACM Transactions on Graphics, October 1994
- D. Tolani, A. Goswami, N. I. Badler: Real-time Inverse Kinematics Techniques for Anthropomorphic Limbs, ? ( $\geq$  1999)
- J. Lander: Oh My God, I Inverted Kine! Game Developer, September 1998
- J. Lander: Making Kine More Flexible. Game Developer, November 1998
- P. Baerlocher: Inverse Kinematics Techniques for The Interactive Posture Control of Articulated Figures. Disertace, 2001
- B. Baxter: Fast Numerical Methods for Inverse Kinematics. Slajdy, 2000